



МОСКОВСКИЙ ГОСУДАРСТВЕННЫЙ УНИВЕРСИТЕТ ИМЕНИ М. В. ЛОМОНОСОВА
Факультет вычислительной математики и кибернетики
Кафедра системного анализа

Отчёт по практикуму

«Оптимальное управление»

Построение множества достижимости

Студента 315 группы
И. А. Кулешова

Руководитель практикума
доцент П. А. Точилин

Москва, 2019

Содержание

1	Постановка задачи	3
2	Теоретические выкладки	4
3	Ход решения	6
3.1	Алгоритм построения допустимых траекторий	6
3.2	Кривая переключений	6
3.3	Особые точки	7
4	Результаты работы программы	8
4.1	Пример 1.	8
4.2	Пример 2. Зависимости множества достижимости от значения α	8
4.3	Пример 3. Зависимости множества достижимости от значения T	9
4.4	Пример 4. Особые точки	9
5	Заключение	10
6	Библиография	10

1 Постановка задачи

Задано обыкновенное дифференциальное уравнение:

$$\ddot{x} + \dot{x} + 2x + x \sin(x^2) - 2x^2 \cos(x) = u, \quad (1)$$

где $x \in \mathbb{R}$, $u \in \mathbb{R}$. На возможные значения управляющего параметра u наложено ограничение: $u \in [-\alpha, \alpha]$. Задан начальный момент времени $t_0 = 0$ и начальная позиция $x(t_0) = \dot{x}(t_0) = 0$. Необходимо построить множество достижимости $X(t, t_0, x(t_0), \dot{x}(t_0))$ (множество пар $(x(t), \dot{x}(t))$) в классе программных управлений в заданный момент времени $t \geq t_0$.

1. Необходимо написать в среде MatLab функцию `reachset(alpha,t)`, которая по заданным параметрам $\alpha > 0$, $t \geq t_0$ рассчитывает приближенно множество достижимости $X(t, t_0, x(t_0), \dot{x}(t_0))$. На выходе функции — два массива X , Y с упорядоченными координатами точек многоугольника, образующего границу искомого множества. Точки в этих массивах должны быть упорядочены так, чтобы результаты работы функции без дополнительной обработки можно было подавать на вход функциям визуализации (например, `plot`). Предусмотреть такой режим работы функции, при котором она возвращает также координаты линий переключения оптимального управления (с возможностью их визуализации).
2. Необходимо реализовать функцию `reachsetdyn(alpha,t1,t2,N,filename)`, которая, используя функцию `reachset(alpha,t)`, строит множества достижимости для моментов времени $\tau_i = t_1 + \frac{(t_2 - t_1)i}{N}$, $i = 0, 1, \dots, N$. Здесь $t_2 \geq t_1 \geq t_0$, N — натуральное число. Для каждого момента времени τ_i функция должна отобразить многоугольник, аппроксимирующий границу множества достижимости. Результат работы функции должен быть сохранён в виде видео-файла `filename.avi`. Необходимо также предусмотреть вариант работы функции (при отсутствии параметра `filename`) без сохранения в файл, с выводом непосредственно на экран. Как частный случай, функция должна иметь возможность строить границу множества достижимости в один фиксированный момент времени (при $t_2 = t_1$).
3. В соответствующем заданию отчёте необходимо привести все теоретические выкладки, сделанные в ходе построения множества достижимости, описать схему алгоритма построения множества достижимости программой, привести примеры построенных множеств достижимости (с иллюстрациями), исследовать зависимость множества достижимости от величины параметра α . Все вспомогательные утверждения (за исключением принципа максимума Понтрягина), указанные в отчёте, должны быть доказаны.

2 Теоретические выкладки

Перепишем уравнение (1) в виде системы двух обыкновенных дифференциальных уравнений первого порядка:

$$\begin{cases} \dot{x}_1 = x_2, \\ \dot{x}_2 = u - x_2 - 2x_1 - x_1 \sin(x_1^2) + 2x_1^2 \cos(x_1). \end{cases} \quad (2)$$

Начальные условия примут вид: $x_1(0) = x_2(0) = 0$

Множеством достижимости $X(T, t_0, x^0)$ называется множество всех таких точек $x \in \mathbb{R}^2$, что существует такое измеримое управление u , что $\forall t \in [t_0, T] |u(t)| < \alpha$ и под действием управления u система (2) переходит за время $T - t_0$ из точки x^0 в точку x .

Существование управления, под действием которого система переходит в точку x за время τ эквивалентно существованию оптимального по быстродействию управления, переводящего систему в точку x за время $\tau_* \leq \tau$.

Тогда будем строить множество достижимости, решая задачу быстродействия из точки $x_0 = (0, 0)^T$ в каждую точку пространства \mathbb{R}^2 .

Выпишем для этой задачи функцию Гамильтона–Понтрягина:

$$H(x, u, t, \psi) = x_2 \psi_1 + (u - x_2 - 2x_1 - x_1 \sin(x_1^2) + 2x_1^2 \cos(x_1)) \psi_2 \quad (3)$$

и сопряженную систему

$$\begin{cases} \dot{\psi}_1 = \psi_2(2 + \sin(x_1^2) + 2x_1^2 \cos(x_1^2) - 4x_1 \cos(x_1) + 2x_1^2 \sin(x_1)), \\ \dot{\psi}_2 = -\psi_1 + \psi_2. \end{cases} \quad (4)$$

Утверждение 1. Пусть $\psi(\cdot)$ – ненулевое решение сопряженной системы. Тогда $\psi_2(\cdot)$ имеет конечное число нулей на $[t_0, T]$.

Доказательство

Предположим противное: пусть множество нулей $\psi(\cdot)$ бесконечно. Так как оно содержится в компакте $[t_0, T]$, то оно имеет предельную точку $\tilde{t} \in [t_0, T]$. Тогда существует последовательность $\{t_i\}_{i=1}^{\infty}$, такая что $t_i \in [t_0, T]$, $t_i \neq t_j$ при $i \neq j$, $t_i \xrightarrow{i \rightarrow \infty} \tilde{t}$, $\psi_2(t_i) = 0$. Далее, по теореме Лагранжа для каждого $i \exists \tau_i \in [t_i, t_{i+1}]$: $\dot{\psi}_2(\tau_i) = \frac{\psi_2(t_{i+1}) - \psi_2(t_i)}{t_{i+1} - t_i} = 0$. При этом $\tau_i \rightarrow \tilde{t}$. Тогда, в силу непрерывности функций $\psi_2(\cdot)$ и $\dot{\psi}_2(\cdot)$, $\psi_2(\tilde{t}) = \dot{\psi}_2(\tilde{t}) = 0 \Rightarrow \psi_1(\tilde{t}) = 0$. Это значит, что $\psi \equiv 0$ на $[t_0, T]$. Следовательно, предположение было неверным и $\psi_2(\cdot)$ имеет конечное число нулей.

Принцип максимума Понтрягина [1] обеспечивает для оптимальной по быстродействию пары $(x(\cdot), u(\cdot))$ существование функции $\psi(\cdot)$, такой что:

1. $\psi(\cdot)$ является решением сопряженной системы (4);
2. Вектор-функция $\psi(\cdot)$ не является тривиальной.
Так как система (4) является линейной однородной, то это эквивалентно условию $\forall t \in [t_0, T] \psi(t) \neq 0$;
3. Выполнено условие максимума, т.е.

$$\forall t \in [t_0, T] H(x(t), u(t), t, \psi(t)) = \max_{|v| < \alpha} H(x(t), v, t, \psi(t)); \quad (5)$$

4. Вдоль оптимальной траектории функция Гамильтона–Понтрягина постоянна и неотрицательна, т.е.

$$\forall t \in [t_0, T] \max_{|v| < \alpha} H(x(t), v, t, \psi(t)) = M(x(t), v, t, \psi(t)) \geq 0;$$

Следовательно, мы получаем, что всякое измеримое оптимальное по быстродействию управление эквивалентно (то есть равно почти всюду) кусочно непрерывному управлению

$$u(t) = \begin{cases} \alpha & \psi_2(t) > 0, \\ [-\alpha, \alpha] & \psi_2(t) = 0, \\ -\alpha & \psi_2(t) < 0. \end{cases}$$

Из утверждения 1 следует, что особый режим в данной задаче не реализуется.

Сформулируем теорему о том, как соотносятся нули x_2 и ψ_2 .

Теорема 1. Пусть измеримое управление $u(\cdot)$ удовлетворяет принципу максимума Понтрягина, $x(\cdot) = (x_1(\cdot), x_2(\cdot))$ — соответствующая ему траектория, а $\psi(\cdot) = (\psi_1(\cdot), \psi_2(\cdot))$ — решение сопряженной системы на $[t_0, T]$. Пусть τ_1, τ_2 — такие моменты, что $t_0 \leq \tau_1 < \tau_2 \leq T$.

Тогда справедливы следующие четыре утверждения:

1. если $\psi_2(\tau_1) = \psi_2(\tau_2) = 0$ и $x_2(\tau_1) = 0$, то $x_2(\tau_2) = 0$;
2. если $\psi_2(\tau_1) = \psi_2(\tau_2) = 0$ и $x_2(\tau_1) \neq 0$, то $x_2(\tau_2) \neq 0$, но $\exists \tau \in (\tau_1, \tau_2) : x_2(\tau) = 0$.
3. если $x_2(\tau_1) = x_2(\tau_2) = 0$, $x_2(t) \neq 0$ при $t \in (\tau_1, \tau_2)$ и $\psi_2(\tau_1) = 0$, то $\psi_2(\tau_2) = 0$.
4. если $x_2(\tau_1) = x_2(\tau_2) = 0$, $x_2(t) \neq 0$ при $t \in (\tau_1, \tau_2)$ и $\psi_2(\tau_1) \neq 0$, то $\psi_2(\tau_2) \neq 0$, но $\exists \tau \in (\tau_1, \tau_2) : \psi_2(\tau) = 0$.

Таким образом, при условии, что нули функции $x_2(\cdot)$ являются изолированными, они или совпадают с нулями функции $\psi_2(\cdot)$ или никакой из нулей функции $x_2(\cdot)$ не является нулем функции $\psi_2(\cdot)$. В таком случае, нули $x_2(\cdot)$ и $\psi_2(\cdot)$ чередуются.

Доказательство

1. Пусть $\psi_2(\tau_1) = \psi_2(\tau_2) = 0$. Так как $\forall t \in [t_0, T]$

$$M(x(0), \psi(0)) = M(x(t), \psi(t)) = x_2\psi_1 - (x_2 + 2x_1 + x_1 \sin(x_1^2) - 2x_1^2 \cos(x_1))\psi_2 + \alpha|\psi_2(t)| \geq 0,$$

то

$$\psi_1(\tau_1)x_2(\tau_1) = \psi_1(\tau_2)x_2(\tau_2) \geq 0$$

При этом $\psi_1(\tau_1) \neq 0, \psi_1(\tau_2) \neq 0$. Это означает, что $x_2(\tau_1) = 0 \Leftrightarrow x_2(\tau_2) = 0$.

2. Так как τ_1 и τ_2 — последовательные нули функции $\psi_2(\cdot)$, то $\psi_1(\tau_1)\psi_1(\tau_2) < 0$. Если $x_2(\tau_1) \neq 0$, то $x_2(\tau_1)x_2(\tau_2) < 0$. Тогда $x_2(\cdot)$ имеет нуль на интервале (τ_1, τ_2) .
3. Пусть теперь $x_2(\tau_1) = x_2(\tau_2) = 0$ и $x_2(t) \neq 0$ на интервале (τ_1, τ_2) и $\psi_2(\tau_1) = 0$. Из пункта 1 следует, что $\psi_2(t) \neq 0$ на интервале (τ_1, τ_2) . Значит, $x_2(\cdot) \in C^2$ на $[\tau_1, \tau_2]$ выполнено (в конечных точках берутся односторонние производные) и на $[\tau_1, \tau_2]$

$$\frac{d}{dt}[\psi_1 x_2 + \psi_2 \dot{x}_2] = 0$$

Отсюда

$$\dot{x}_2(\tau_1)\psi_2(\tau_1) = \dot{x}_2(\tau_2)\psi_2(\tau_2) \tag{6}$$

При этом $(x_2(t))^2 + (\dot{x}_2(t))^2 \neq 0$ при $t \in [\tau_1, \tau_2]$, так как иначе, в силу единственности решения задачи Коши (2), получаем $x_2(t) = 0 \forall t \in [\tau_1, \tau_2]$. Так как $\psi_2(\tau_1) = 0$, то $\psi_2(\tau_2) = 0$.

4. Пусть, наконец, $x_2(\tau_1) = x_2(\tau_2) = 0$ и $x_2(t) \neq 0$ на интервале (τ_1, τ_2) и $\psi_2(\tau_1) \neq 0$. Тогда из 6 следует что $\psi_2(\tau_2) \neq 0$. Если теперь предположить, что $\psi_2(t)$ не обращается в нуль нигде на $[\tau_1, \tau_2]$, то из 6 получим $\dot{x}_2(\tau_1)x_2(\tau_2) > 0$, что невозможно, так как τ_1 и τ_2 — последовательные нули функции $x_2(\cdot)$.

Утверждение 2. Для рассматриваемой задачи множество достижимости $X(T, t_0, x^0)$ монотонно по включению, то есть, если $T_1 \leq T_2$, то $X(T_1, t_0, x^0) \subseteq X(T_2, t_0, x^0)$.

Доказательство

Пусть $x \in X(T_1, t_0, x^0)$. Тогда $\exists u(\cdot)$, такое что под действием управления $u(\cdot)$ автономная система (2) за время $T_1 - t_0$ переходит из точки $(0, 0)^T$ в точку x . Введем на отрезке $[t_0, T_2]$ управление

$$\tilde{u}(t) = \begin{cases} 0 & t \in [t_0, t_0 + T_2 - T_1], \\ u(t) & t \in (t_0 + T_2 - T_1, T_2]. \end{cases}$$

Так как $x^0 = 0$, то под действием управления $\tilde{u}(\cdot)$ система (2), перейдет в точку x . Следовательно, $x \in X(T_2, t_0, x^0)$.

3 Ход решения

3.1 Алгоритм построения допустимых траекторий

Строить допустимые траектории будем из принципа максимума и теореме 1. Рассмотрим 2 случая поведения управления:

$$\begin{cases} \dot{x}_1 = x_2, \\ \dot{x}_2 = -x_2 - 2x_1 - x_1 \sin(x_1^2) + 2x_1^2 \cos(x_1) + \alpha. \end{cases} \quad (7)$$

$$\begin{cases} \dot{x}_1 = x_2, \\ \dot{x}_2 = -x_2 - 2x_1 - x_1 \sin(x_1^2) + 2x_1^2 \cos(x_1) - \alpha. \end{cases} \quad (8)$$

Систему (7) будем далее называть $(S+)$, а систему (8) — $(S-)$. Переключение между этими системами происходит в момент смены знака ψ_2 . Поведение всей системы 2 описывается однозначно начальными значениями $\psi_1(0)$, $\psi_2(0)$, поэтому для построения множества достижимости мы могли бы перебирать начальные значения сопряженных переменных из \mathbb{R}^2 , но это неэффективно.

Поэтому построим пробную траекторию по системе $(S+)$ до момента t^* , когда обнулится переменная x_2 . Согласно теореме 1, если $\psi_2(0) \neq 0$, то для некоторого $\tau \in [0, t^*]$, будет верно $\psi(\tau) = 0$. Так как мы не уточняли $\psi(0)$, то можно положить $\psi_1(\tau) = 1$ при $\psi_2(\tau) = 0$. Таким образом мы можем перебрать значения $\tau \in [0, t^*]$ и выпускать траектории уже из точек $(x_1(\tau), x_2(\tau), 1, 0)$ со значением $u = -\alpha$, и интегрировать систему 2 до конечного момента времени T , переключаясь между системами $(S+)$ и $(S-)$. Аналогично выпустим траекторию по системе $(S-)$ до момента обнуления x_2 , затем из точек, принадлежащих ей, выпустим траектории с начальными значениями фазовых и сопряженных переменных равными $(x_1(\tau), x_2(\tau), 1, 0)$ и управлением равным α .

Так как фазовые переменные могут меняться только по системам $(S+)$ и $(S-)$, критерий переключения между которыми мы знаем. Такой подход позволяет нам перебрать все возможные траектории.

3.2 Кривая переключений

Кривая переключений — это множество точек, в которых происходит переключения управления одной из рассматриваемых допустимых траекторий. Отметим, что две рассматриваемые траектории, выпущенные из начала координат и развивающиеся согласно одной из систем

$(S+), (S-)$ до момента обнуления x_2 , будут принадлежать кривой переключения. Остальные точки кривой переключений мы будем находить во время построения допустимых траекторий.

Из-за нелинейности системы (2) кривая переключений не будет симметрична. К тому же, кривую переключения очень сложно объединить в одну линию, поскольку количество переключений вдоль каждой траектории, строго говоря, не ограничено.

Полезность кривой переключения состоит в том, что она делит \mathbb{R}^2 на два подпространства, в одном из которых действует $(S+)$, а в другом — $(S-)$. Благодаря этому можно будет решить задачу в обратном времени.

3.3 Особые точки

Особая точка системы (2) — точка (x_1^*, x_2^*) такая, что $\dot{x}_1 = x_2^0 = 0$; $\dot{x}_2 = u - f(x_1^*, x_2^*) = 0$, т.е. попав в эту точку, система уже не сможет ее покинуть. В моем случае это значит, что нужно решить уравнение $\pm\alpha = x_2 + 2x_1 + x_1 \sin(x_1^2) - 2x_1^2 \cos(x_1)$. Так как уравнение нелинейное, то решать его мы будем численно, а устойчивость исследовать при помощи матрицы Якоби, которая имеет вид:

$$J(x_1, x_2) = \begin{bmatrix} 0 & 1 \\ 2 + \sin(x_1^2) + 2x_1^2 \cos(x_1^2) - 4x_1 \cos(x_1) + 2x_1^2 \sin(x_1) & 1 \end{bmatrix}$$

В каждой особой точке будем находить численно значения собственных векторов и по ним судить об устойчивости особой точки.

4 Результаты работы программы

4.1 Пример 1.

Параметры системы $\alpha = 1$, $T = 1$.

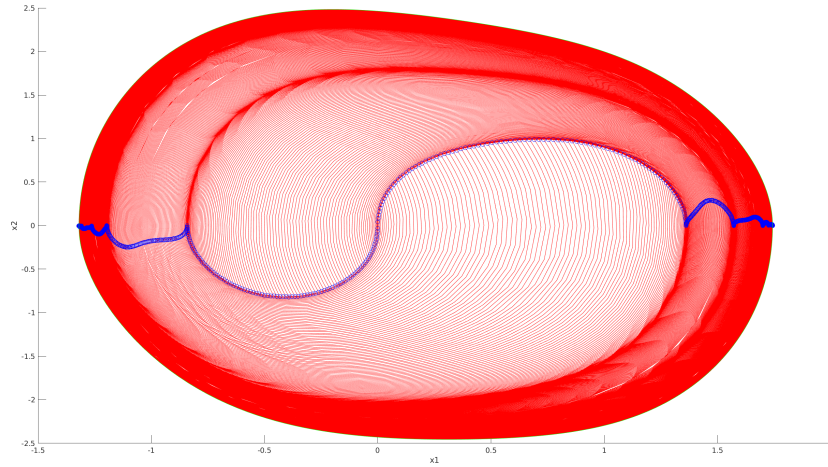


Рис. 1: Множество достижимости

4.2 Пример 2. Зависимости множества достижимости от значения α

Параметры системы $T = 1$.

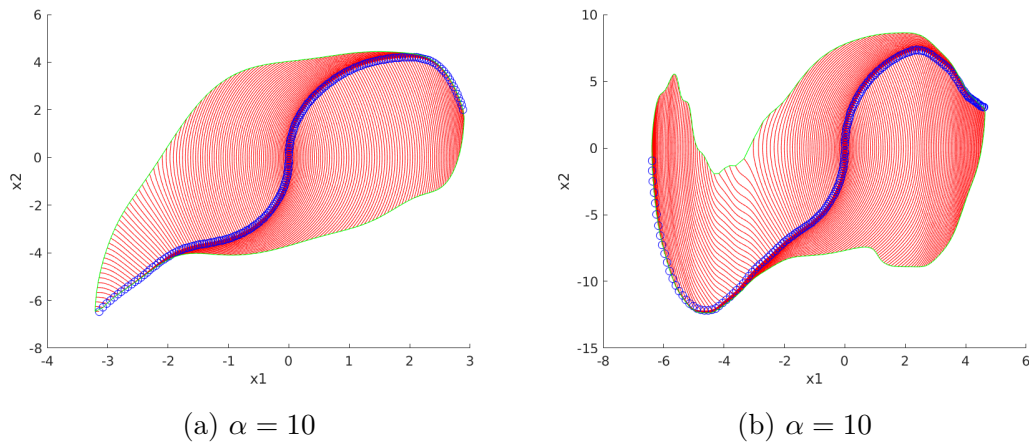


Рис. 2: Зависимости множества достижимости от значения α

Как можно заметить, форма границы множества достижимости значительно меняется в зависимости от параметров системы.

4.3 Пример 3. Зависимости множества достижимости от значения T

Параметры системы $\alpha = 15$.

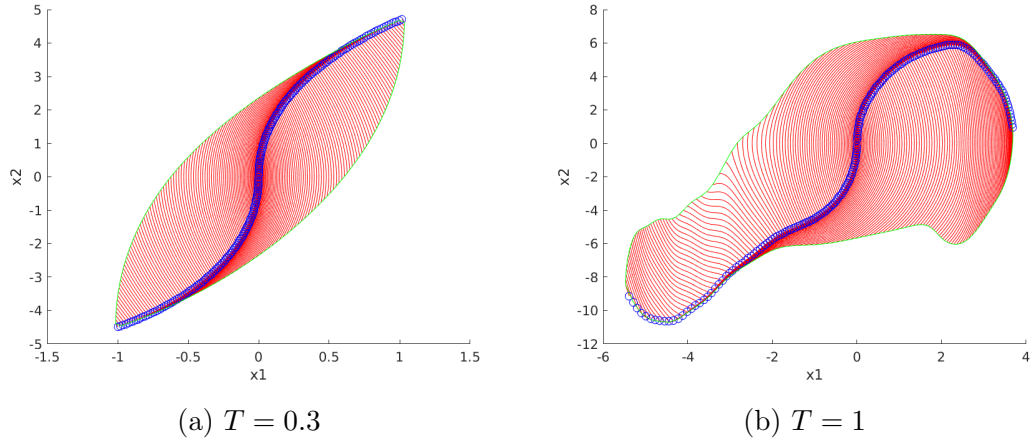


Рис. 3: Зависимости множества достижимости от значения T

Ситуация, аналогичная примеру 2.

4.4 Пример 4. Особые точки

Параметры системы $\alpha = 3$, $T = 50$.

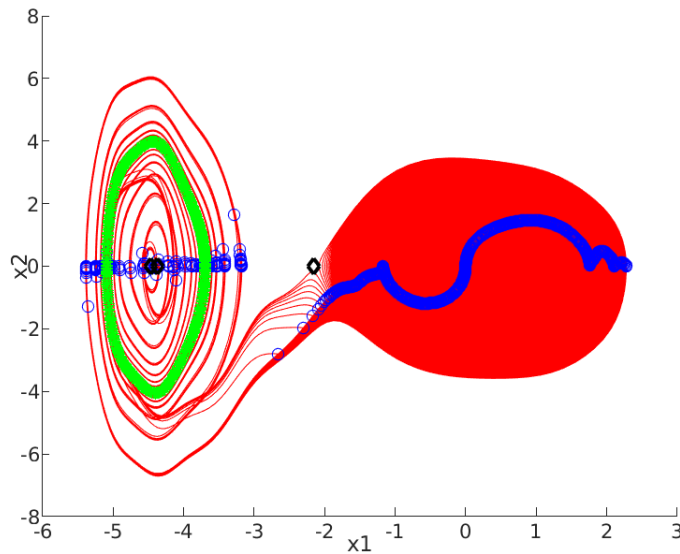


Рис. 4: Случай при наличии особых точек

Как было сказано ранее, данная система может иметь особые точки: $x_1^* = -4.46$, $x_1^* = -4.37$, $x_1^* = -2.16$.

Траектории системы расходятся рядом с точкой $x_1^* = -2.16$. Данный рисунок также показывает, что в некоторых случаях образуется предельный цикл, поскольку все особые точки в данном случае неустойчивы.

5 Заключение

В данной работе был исследован вопрос построения множеств достижимости для нелинейной системы (1). Допустимые траектории строились в соответствии с принципом максимума и рядом вспомогательных утверждений, верных для систем вида (2). В результате работы мы получили иллюстрации поведения множества достижимости нелинейной системы и смогли продемонстрировать некоторые его особенности.

6 Библиография

Список литературы

- [1] И. В. Рублев *Лекции по оптимальному управлению*, 2019.